

آنالیز ۳ بعدی تغییر شکل پوسته زمین بروش ایزوپارامتریک و درون یابی با شبکه های

عصبی مصنوعی

(منطقه مورد مطالعه : شبکه ژئودینامیک ایران)

میر رضا غفاری رزین^۱ ، علی محمدزاده^{۲*}

۱- دانشجوی دکتری، دانشکده مهندسی نقشه برداری، دانشگاه صنعتی خواجه نصیرالدین طوسی

۲- استادیار، دانشکده مهندسی نقشه برداری دانشگاه صنعتی خواجه نصیرالدین طوسی

تاریخ دریافت مقاله: ۱۳۹۳/۱۱/۱۷ تاریخ پذیرش مقاله: ۱۳۹۴/۰۳/۳۱

چکیده

یکی از کاربردهای مهم ژئودزی در تحقیقات ژئودینامیک، مطالعه تغییرات پوسته ای زمین می باشد. در این مقاله مساله آنالیز سطحی تغییر شکل پوسته زمین در منطقه ایران بصورت مدل ۳ بعدی مورد بررسی قرار می گیرد. از روش ایزوپارامتریک ۳ بعدی و داده های GPS شبکه مبنای دائمی ژئودینامیک کشور ایران (۳۷ ایستگاه بین سالهای ۲۰۰۸-۲۰۰۷) جهت برآورد مولفه های تنسور استرین استفاده شده است. بنا به ویژگی های مدل سازی ۳ بعدی پوسته زمین بروش ایزوپارامتریک، با یک مساله بد وضع روپرتو خواهیم شد. جهت حل این مساله از روش پایدار سازی تیخونوف در این مقاله استفاده شده است. ابتدا مقدار پارامتر پایدار سازی جهت برآورد پارامترهای تنسور استرین، طوری انتخاب گردیده که نتایج حاصل از خطای نسبی کمتری برخوردار باشند. ارزیابی مقدار این خطا از روی عناصر قطر اصلی ماتریس رزولوشن انجام گرفته است. همچنین جهت درون یابی مقادیر میدان سرعت و مولفه های استرین در سایر نقاط ژئودتیکی موجود در فلات ایران، از شبکه عصبی مصنوعی ۳ لایه استفاده شده است. تعداد نورونهای مورد استفاده جهت برآورد کمیتهای میدان سرعت و استرین براساس مینیمم سازی مقدار خطای نسبی در آموزش بطریقه پس انتشار خطا انتخاب شده است. ایستگاه با توزیع مناسب جهت تست نتایج انتخاب گردیده است. مینیمم خطای نسبی بدست آمده برای میدان سرعت در مولفه شمالی (V_N) $6/80$ درصد و برای مولفه شرقی (V_E) $6/25$ تعیین شده است. همچنین جذر خطای میانگین مربعی (RMSE) برای مولفه شمالی $1/85$ ± میلیمتر و برای مولفه شرقی $1/72$ ± میلیمتر بدست آمده است..

کلید واژه ها : روش ایزوپارامتریک، تنسور استرین، میدان سرعت، پایدار سازی، شبکه عصبی، GPS

*نویسنده مسئول: گروه سنجش از دور و فتوگرامتری، دانشکده ژئودزی و ژئوماتیک، دانشگاه خواجه نصیرالدین طوسی - تلفن: ۰۹۱۲۴۷۵۲۹۶۱

Email: a_mohammadzadeh@kntu.ac.ir

۱- مقدمه

را جهت محاسبه و بررسی پارامترهای استرین رائه دادند [۴]. بعداز آنها روش‌های مختلف و متفاوتی جهت آنالیز تغییر شکل زمین ارائه گردید [۵، ۶ و ۷]. فرض اولیه در اکثر روش‌های ارائه شده این بوده است که تغییر شکل ارتفاعی کوچک، اثر کاملاً ناچیزی در تغییرات مسطحاتی دارد.

کشور ایران از نقطه نظر سایزمو تکتونیکی (لرزه زمین ساخت) بخشی از کمربند زلزله خیز آلپ هیمالیا را تشکیل داده است. تکتونیک کنونی کشور ایران حاصل همگرایی شمالی-جنوبی بین صفات تکتونیک عربی در جنوب غربی و اوراسیا در شمال شرقی با سرعت ۲۲ میلیمتر در سال می‌باشد [۸]. وجود زلزله‌های متعدد در طول تاریخ گواه بر زلزله خیز بودن کشور ایران است و به این دلیل، مطالعه و آنالیز تغییر شکل در ایران از اهمیت ویژه‌ای برخوردار می‌باشد.

کشور ایران به عنوان بخشی از رشته کوه‌های چین خورده آلپ-هیمالیا، طرح پیچیده‌ای از مجموعه پیوسته‌ای قطعات زمین ساخت و مناطق متفاوت زمین ساختی است که از نگاه نو زمین ساختی و لرزه زمین ساختی، ویژگیهای خاص دارد. شواهد گوناگون مانند زمین‌لرزه‌های امروزی، آتشفشارهای نیمه فعال، سواحل بالا آمده، پیدایش گسل‌های لرزه‌ای و ... نشانگر تغییر و تحول ژئودینامیکی کنونی پوسته ایران و عدم تعادل آن است. در یک نگاه کلی، از شمال به جنوب، می‌توان سه صفحه بزرگ را در ایران شناسایی کرد. صفحه شمالی، به عنوان لبه جنوبی صفحه توران شامل چین‌های حاشیه‌ای کپه داغ و منطقه فرونوسنست خزر جنوبی است. صفحه میانی که رشته کوه‌های چین خورده البرز و پهنه‌های مختلف ایران مرکزی را دربردارد. سرانجام ورقه جنوبی که لبه شمال خاوری سکوی عربستان را شامل می‌باشد و بخش ایرانی آن، کوه‌های زاگرس نام دارد. جدا از صفحه‌های مذکور باید

تغییر شکل زمین ماهیتاً پدیده‌ای ۳بعدی است. بنابراین مطالعه این پدیده بصورت تغییر شکل ۲بعدی (تغییر شکل مسطحاتی) و یا ۱بعدی (تغییر شکل ارتفاعی) می‌تواند یک تصور غیر واقعی از موضوع تغییر شکل باشد، مخصوصاً زمانی که میزان تغییرات ارتفاعی یا مسطحاتی نسبت به همدیگر خیلی زیاد است تفکیک بررسی تغییر شکل زمین در اینگونه موارد می‌تواند مشکل ساز شود. جهت غلبه بر چنین مشکلاتی می‌توان از روش‌های ۳بعدی تغییر شکل زمین استفاده کرد. یکی از این روش‌ها که در این مقاله مورد بررسی قرار می‌گیرد روش ایزوپارامتریک است [۱]. ویژگی این روش در این است که نتایج آن بصورت مستقیم می‌تواند قبل تفسیر و بررسی باشد. در ارائه چنین مدلی جهت بیان تغییر شکل ۳بعدی، می‌بایستی اندازه و نیز ساختار شبکه مورد بررسی قرار گیرد. چالش دیگر در استفاده از روش ایزوپارامتریک جهت بیان تغییر شکل پوسته زمین، ناپایدار بودن ماتریس نرمال است [۱].

در میان روش‌های مختلف و متفاوت بررسی تغییر شکل پوسته زمین، روش‌های متکی بر مشاهدات ژئودتیکی می‌تواند اطلاعات بالارزش و مفیدی را در رابطه با آنالیز تغییر شکل زمین در اختیار گذارد [۲]. دیگر روش‌های بررسی تغییر شکل تنها می‌توانند حالت متوسطی از تغییر شکل زمین را در مقیاسهای زمانی و مکانی بزرگ نشان دهند بطور مثال روش‌های مبتنی بر زلزله از تنسورهای ممان لرزه‌ای جهت بررسی تغییر شکل پوسته زمین در یک حجم خاص به کمک مشاهدات چندین ساله استفاده می‌کنند [۳]. استفاده از تجهیزاتی همانند تیلت متر یا استرین متر تنها می‌تواند پارامترهای تغییر شکل زمین را در یک محدوده خاص و در یک دوره زمانی کوتاه بدست آورد. در سال ۱۹۲۹ ترada و میابی اولین ایده استفاده از مشاهدات ژئودتیکی

هدف این مقاله تعیین میدان جابجایی ۳ بعدی و متعاقب آن درون یابی مولفه های تنسور استرین و میدان سرعت، توسط روش شبکه های عصبی مصنوعی^۴ در منطقه ایران می باشد. شبکه های عصبی مصنوعی در روشنی جدید جهت یادگیری ماشینی، نمایش دانش و در انتها اعمال دانش به دست آمده در جهت بیش بینی پاسخهای خروجی یک سیستم می باشند. این شبکه ها برای تخمین^۵ و تقریب^۶ کارایی بسیار بالایی از خود نشان داده اند. حسن استفاده از روش شبکه های عصبی مصنوعی در سرعت عمل و دقت بالای آنها در پیش بینی رفتار پدیده های غیر خطی است [۱۴].

این مقاله شامل بخش های زیر است: در بخش دوم در مورد نمایش تغییر شکل زمین بصورت ۳ بعدی بحث و بررسی شده و فرمولهای ریاضی لازم ارائه خواهد شد. همچنین در ادامه این بخش در مورد ناپایداری مساله مورد نظر و دلایل آن توضیح ارائه می شود. در بخش سوم در مورد روش پایدار سازی تیخونوف و چگونگی استفاده از آن در مساله مورد نظر بحث می شود. در بخش چهارم در مورد شبکه های عصبی مصنوعی چند لایه و ساختار آنها توضیح ارائه خواهد شد. بخش پنجم مربوط به نتایج محاسبات بوده و سرانجام در بخش ششم نتیجه گیری و پیشنهاداتی برای کارهای آینده ارائه می شود.

۲- نمایش تغییر شکل زمین در ۳ بعد به کمک روش ایزوپارامتریک

برطبق تئوری الاستیسیته تغییر شکل پوسته در یک جسم تغییر شکل پذیر می تواند بوسیله تغییرات نسبی فاصله مابین یک نقطه و نقاط مجاور آن بدست آید [۱۵]. روش فوق بر این فرض استوار است که نقاطی از جسم که در محاسبه پارامترهای استرین

به رشتہ کوههای اشاره کرد که ویژگی مناطق فروزانش کم شیب را دارد [۸]. به طور کلی در امتداد شمال غربی - جنوب شرقی به علت نیروهای تراکمی ناشی از حرکت صفحه عربی به طرف صفحه ایران، و در نواحی شرقی به علت فعالیت گسل های امتداد لغز شمالی - جنوبی و در مناطق شمالی در نتیجه های حرکت های امتداد لغز شرقی - غربی و نیز نیروهای حاصل از برخورد صفحات ایران و توران به یکدیگر زمین لرزه های فراوانی رخ می دهند [۹].

با توسعه شبکه های تعیین موقعیت ماهواره ای بصورت محلی و منطقه ای، ایده استفاده از مشاهدات این شبکه ها جهت بررسی تغییرات سطح پوسته زمین گسترش پیدا کرد. در این راستا تحقیقات بسیار وسیع و گستردگی این جهت مطالعه چگونگی ساز و کارهای ژئودینامیکی پوسته در منطقه ایران صورت گرفته است [۸، ۹، ۱۰، ۱۱]. تعیین دقیق میدان سرعت و جابجایی نقاط مبنا در شبکه های ژئودزی از اهمیت زیادی برخوردار است. با در دسترس بودن اطلاعات مربوط به میدان سرعت ایستگاه های GPS در یک شبکه ژئودزی می توان کینماتیک و دینامیک پوسته زمین در آن منطقه را مدل سازی کرد [۱۲]. در سالیان اخیر تلاش های گستردگی این جهت تعیین میدان سرعت پوسته زمین با استفاده از ایستگاه های مبنای شبکه های ژئودزی انجام گرفته است. وثوقی در سال ۲۰۰۰ از محاسبات تنسوری جهت بدست آوردن تنسور انحنای^۱ و میدان جابجایی پوسته زمین بصورت ۳ بعدی استفاده کرد [۱۳]. مشهدی حسینعلی در سال ۲۰۰۶ جهت محاسبه میدان جابجایی از روش های ایزوپارامتریک^۲ و لاگرانژ^۳ ۳ بعدی استفاده کرد [۱].

4 Artificial Neural Network
5 Estimation
6 Approximation

1 Curvature Tensor
2 Isoparametric Method
3 Lagrange Method

میدانهای جابجایی $w_A = w(x, y, z)$ و $v_A = v(x, y, z)$ میباشد که ویژگیهای تغییر شکل را در نقطه مورد نظر نشان می‌دهند [۱]. بطور مشابه نقطه B نیز در اثر تغییر شکل به موقعیت جدید نقطه B (x+rl+u_B, y+rm+v_B, z+rn+w_B) خواهد رسید که در آن خواهیم داشت:

$$u_B = u(x + rl, y + rm, z + rn) \quad (1)$$

$$v_B = v(x + rl, y + rm, z + rn)$$

$$w_B = w(x + rl, y + rm, z + rn)$$

با خطی‌سازی میدانهای جابجایی در نقطه A نسبت به قطعه B خواهیم داشت:

$$\begin{aligned} u_B &= u_A + r \left(l \frac{\partial u}{\partial x} + m \frac{\partial u}{\partial y} + n \frac{\partial u}{\partial z} \right) + \sum_{j=2}^{\infty} \frac{1}{j!} \left(rl \frac{\partial}{\partial x} + rm \frac{\partial}{\partial y} + rn \frac{\partial}{\partial z} \right)^j u \\ v_B &= v_A + r \left(l \frac{\partial v}{\partial x} + m \frac{\partial v}{\partial y} + n \frac{\partial v}{\partial z} \right) + \sum_{j=2}^{\infty} \frac{1}{j!} \left(rl \frac{\partial}{\partial x} + rm \frac{\partial}{\partial y} + rn \frac{\partial}{\partial z} \right)^j v \\ w_B &= w_A + r \left(l \frac{\partial w}{\partial x} + m \frac{\partial w}{\partial y} + n \frac{\partial w}{\partial z} \right) + \sum_{j=2}^{\infty} \frac{1}{j!} \left(rl \frac{\partial}{\partial x} + rm \frac{\partial}{\partial y} + rn \frac{\partial}{\partial z} \right)^j w \end{aligned} \quad (2)$$

$$\text{رابطه (4)}$$

$$\begin{aligned} r_1^2 &= \left[rl + r \left(l \frac{\partial u}{\partial x} + m \frac{\partial u}{\partial y} + n \frac{\partial u}{\partial z} \right) \right]^2 \\ &+ \left[rm + r \left(l \frac{\partial v}{\partial x} + m \frac{\partial v}{\partial y} + n \frac{\partial v}{\partial z} \right) \right]^2 \\ &+ \left[rn + r \left(l \frac{\partial w}{\partial x} + m \frac{\partial w}{\partial y} + n \frac{\partial w}{\partial z} \right) \right]^2 \end{aligned} \quad (5)$$

$$\text{رابطه (5)}$$

$$q = \frac{r_1 - r}{r} = e_{xx}l^2 + e_{yy}m^2 + e_{zz}n^2 + e_{xy}lm + e_{xz}ln + e_{yz}mn$$

بنابراین حذف فرم‌های غیر خطی در رابطه (۲) مبتنی بر فرض کوچک بودن r امکان پذیر نیست، البته با فرض هموزن بودن تغییر شکل (خطی بودن میدان جابجایی نسبت به موقعیت نقاط) تقریب فوق هم چنان امکان پذیر است. رابطه (۵) کمیت کشش طولی خطی^۱ نامیده شده و خواهیم داشت:

¹ linear elongation

استفاده می‌شوند در همسایگی نزدیکی از نقطه مبداء باشند. دو نقطه A و B از جسم تغییر شکل پذیر V را در نظر می‌گیریم. فاصله این دو نقطه قبل از تغییر شکل r می‌باشد. اگر مختصات نقطه A قبل از تغییر شکل (x,y,z) باشد در اینصورت مختصات نقطه B را می‌توان بصورت (l,m,n) در نقطه $(x+rl,y+rm,z+rn)$ کسینوس هادیهای خط واصل بین دو نقطه A و B قبل از تغییر شکل می‌باشد.

در اثر تغییر شکل نقطه A به موقعیت جدید $u_A = u(x, y, z)$ منتقل می‌شود که

اگر نقطه A در نزدیکی نقطه B باشد در اینصورت می‌توان از جملات با مرتب بالاتر r صرفنظر کرده و مختصات نقطه B را بصورت زیر نوشت [۱]:

$$\begin{aligned} x_B &= x + rl + u_A + r \left(l \frac{\partial u}{\partial x} + m \frac{\partial u}{\partial y} + n \frac{\partial u}{\partial z} \right) \quad (3) \\ y_B &= y + rl + v_A + r \left(l \frac{\partial v}{\partial x} + m \frac{\partial v}{\partial y} + n \frac{\partial v}{\partial z} \right) \\ z_B &= z + rl + w_A + r \left(l \frac{\partial w}{\partial x} + m \frac{\partial w}{\partial y} + n \frac{\partial w}{\partial z} \right) \end{aligned}$$

بنابراین فاصله r_1^2 میان دو نقطه A و B بصورت تابعی از پارامترهای استرین بصورت رابطه ۴ نوشته خواهد شد.

اگر تغییر شکل کوچک باشد در رابطه (۴) می‌توان از بعضی جملات مربعی و حاصلضرب آنها صرف نظر کرده و رابطه (۴) را بصورت رابطه (۵) زیر نوشت.

استفاده از این رابطه در آنالیز تغییر شکل سطحی زمین به کمک شبکه‌های ژئودزی با این مشکل مواجه است که فاصله بین نقاط در این شبکه‌ها بسیار بزرگ است.

$$e_{xx} = \frac{\partial u}{\partial x}, e_{yy} = \frac{\partial v}{\partial y}, e_{zz} = \frac{\partial w}{\partial z}, e_{xy} = \frac{\partial u}{\partial y} + \frac{\partial v}{\partial x}, e_{xz} = \frac{\partial u}{\partial z} + \frac{\partial w}{\partial x}, e_{yz} = \frac{\partial v}{\partial z} + \frac{\partial w}{\partial y} \quad \text{رابطه (۶)}$$

رابطه (۷)

$$q = \frac{r_1 - r}{r} \\ .. = e_{xx} \left(\frac{\Delta x_{nk}}{|NK|} \right)^2 + e_{yy} \left(\frac{\Delta y_{nk}}{|NK|} \right)^2 + e_{zz} \left(\frac{\Delta z_{nk}}{|NK|} \right)^2 + e_{xy} \left(\frac{\Delta x_{nk}}{|NK|} \frac{\Delta y_{nk}}{|NK|} \right) + e_{xz} \left(\frac{\Delta x_{nk}}{|NK|} \frac{\Delta z_{nk}}{|NK|} \right) + e_{yz} \left(\frac{\Delta y_{nk}}{|NK|} \frac{\Delta z_{nk}}{|NK|} \right)$$

رابطه (۸)

$$A_{N \times 6} = \begin{bmatrix} \left(\frac{\Delta x_{n1}}{|n1|} \right)^2 & \left(\frac{\Delta y_{n1}}{|n1|} \right)^2 & \left(\frac{\Delta z_{n1}}{|n1|} \right)^2 & \left(\frac{\Delta x_{n1}}{|n1|} \frac{\Delta y_{n1}}{|n1|} \right) & \left(\frac{\Delta x_{n1}}{|n1|} \frac{\Delta z_{n1}}{|n1|} \right) & \left(\frac{\Delta y_{n1}}{|n1|} \frac{\Delta z_{n1}}{|n1|} \right) \\ \left(\frac{\Delta x_{n2}}{|n2|} \right)^2 & \left(\frac{\Delta y_{n2}}{|n2|} \right)^2 & \left(\frac{\Delta z_{n2}}{|n2|} \right)^2 & \left(\frac{\Delta x_{n2}}{|n2|} \frac{\Delta y_{n2}}{|n2|} \right) & \left(\frac{\Delta x_{n2}}{|n2|} \frac{\Delta z_{n2}}{|n2|} \right) & \left(\frac{\Delta y_{n2}}{|n2|} \frac{\Delta z_{n2}}{|n2|} \right) \\ \left(\frac{\Delta x_{n3}}{|n3|} \right)^2 & \left(\frac{\Delta y_{n3}}{|n3|} \right)^2 & \left(\frac{\Delta z_{n3}}{|n3|} \right)^2 & \left(\frac{\Delta x_{n3}}{|n3|} \frac{\Delta y_{n3}}{|n3|} \right) & \left(\frac{\Delta x_{n3}}{|n3|} \frac{\Delta z_{n3}}{|n3|} \right) & \left(\frac{\Delta y_{n3}}{|n3|} \frac{\Delta z_{n3}}{|n3|} \right) \\ \vdots & \vdots & \vdots & \vdots & \vdots & \vdots \\ \left(\frac{\Delta x_{NK}}{|NK|} \right)^2 & \left(\frac{\Delta y_{NK}}{|NK|} \right)^2 & \left(\frac{\Delta z_{NK}}{|NK|} \right)^2 & \left(\frac{\Delta x_{NK}}{|NK|} \frac{\Delta y_{NK}}{|NK|} \right) & \left(\frac{\Delta x_{NK}}{|NK|} \frac{\Delta z_{NK}}{|NK|} \right) & \left(\frac{\Delta y_{NK}}{|NK|} \frac{\Delta z_{NK}}{|NK|} \right) \end{bmatrix}$$

مقداری استرین محاسبه شده به این روش براین فرض استوار است که فاصله مابین نقاط در جسم تغییر شکل پذیر خیلی کوچک باشند که در اینصورت تنسور بدست آمده را تنسور استرین بینهایت کوچک^۱ می‌نامند. با در نظر گرفتن $(\theta_1, \theta_2, \theta_3)$ به عنوان کسینوس هادی‌های طول مابین دو نقطه A و B و نیز مختصات دو نقطه A و B در سیستم مختصات محلی رابطه (۵) را می‌توان بصورت رابطه (۷) زیر بازنویسی کرد.

در رابطه (۷) اندیس $k(1,2,\dots,K)$ نشان‌دهنده نقطه‌ای از شبکه که پارامترهای استرین در آن محاسبه خواهد شد و اندیس $n(1,2,\dots,N)$ نشان‌دهنده سایر نقاط شبکه می‌باشد. پارامترهای

تعیین تغییر شکل می‌بایست عنصر تنسور تغییر شکل در تمامی نقاط آن جسم تعیین گردند، در بررسی تغییر شکل‌های سطحی زمین به کمک شبکه‌های زئودزی نیز می‌بایستی تنسور استرین در تمام نقاط شبکه محاسبه شود. همان‌طور که از رابطه (۵) پیداست برای محاسبه المانهای استرین در یک نقطه احتیاج به حداقل اندازه کشش فاصله بین آن نقطه و ۶ نقطه

1 infinitesimal tensor of strain

در این صورت ماتریس طرح مشاهدات با روش ایزوپارامتریک^۳ بعدی بصورت رابطه (۸) خواهد بود.

دستگاه معادلات رابطه (۵) حل گردد. اما با توجه به ساختار ماتریس ضرایب بدست آمده در مدلسازی^۳ بعدی بروش ایزوپارامتریک، می‌بایستی جهت برآورد پارامترهای استرین از یکی از روشهای پایدارسازی^۳ مطلوب استفاده شود. بر اساس قضیه تجزیه یک ماتریس به مقادیر و بردارهای منفرد، ماتریس حقیقی و دلخواه G با بعد $m \times n$ را می‌توان بصورت زیر به فرم طیفی نوشت [۱۶]:

$$USV^T = G \quad (9)$$

در این رابطه، U ماتریسی متعامد شامل بردارهای منفرد چپ ماتریس ضرایب (بردارهای u_i , $i=1, \dots, m$)، V ماتریسی متعامد شامل بردارهای منفرد راست ماتریس ضرایب (بردارهای v_i , $i=1, \dots, n$) و S ماتریسی قطری با بعد $m \times n$ است که درایه‌های روی قطر اصلی آن مقادیر منفرد ماتریس G می‌باشند. در نمایش یک ماتریس به فرم طیفی، مقادیر منفرد و بردارهای نظیر، غالباً بصورت نزولی مرتب و در ماتریس‌های مربوطه قرار می‌گیرند. به عبارت دیگر (در صورتیکه G کمبود مرتبه نداشته باشد):

$$S_1 \geq S_2 \geq \dots \geq S_{\min} \neq 0 \quad (10)$$

شکل (۱) فرم طیفی ماتریس G را نمایش می‌دهد. کاهش نمایی مقادیر منفرد در این شکل، شاهدی برای ناپایداری احتمالی دستگاه معادلات همزمان مربوطه است. جهت پایدارسازی دستگاه معادلات و نیز برآورد پارامترهای استرین، در این مقاله از روش تیخونوف مرتبه صفرم^۴ استفاده می‌شود. برای معرفی این روش مساله کمترین مربعات $\min \|Gm - d\|_2^2$ را

محاور است. در صورت موجود بودن بیشتر از ۶ نقطه محاور می‌توان المانهای تنسور استرین را محاسبه کرد. با دقت در ساختار ماتریس طرح (۸) می‌توان به شرایط زیر پی‌برد:

شبکه ژئودزی در منطقه نسبتاً مسطحی قرار گرفته باشد، در این حالت مولفه‌های Δz طول‌های باز بین نقاط (ستونهای ۳، ۵ و ۶ از ماتریس ضرایب) صفر یا نزدیک صفر شده و بنابراین مرتبه ماتریس ضرایب به اندازه ۳ کاهش پیدا خواهد کرد (Rank(A)=3<6). در این شرایط فضای پوج ماتریس ضرایب دارای عناصر غیربدیدهی است و یا مساله مورد نظر دارای بینهایت جواب است [۱].

نقاطی که در محاسبه تنسور تغییر شکل در نقطه مثلاً K ام شبکه مشارکت دارند در امتداد یکی از محورهای مختصات محلی قرار گیرند. در این صورت مولفه‌های طول‌های باز بین دو نقطه مساوی صفر شده و مجدداً ماتریس ضرایب A دچار کمبود مرتبه خواهد شد [۱]. آنچه در عمل اتفاق می‌افتد حالت‌هایی نه از شرایط ۱ و ۲ بلکه شرایطی نزدیک به آن است به نحوی که مثلاً اختلاف ارتفاع نقاط شبکه در مقایسه با سایر طول بازها در یک شبکه ژئودزی ناچیز است. در این شرایط مساله مورد بحث به مساله‌ای بد-وضع^۱ تبدیل خواهد شد به عبارت دیگر ماتریس A دارای مرتبه کاملی است ولی عدد شرط آن بزرگ می‌باشد. بنابراین استفاده از تکنیک‌های پایدارسازی برای رسیدن به جوابی پایدار برای حل این مساله ضروری است. جهت این منظور و در این مقاله از روش تیخونوف^۲ استفاده شده است.

۳- پایدار سازی سیستم معادلات با روش تیخونوف

با توجه به مطالبی که در بخش قبل به آن اشاره گردید جهت بدست آوردن پارامترهای استرین، می‌بایستی

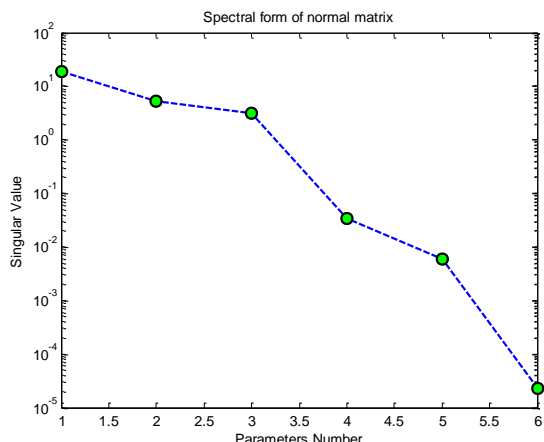
3 Regularization technique

4 Zero order Tikhonov

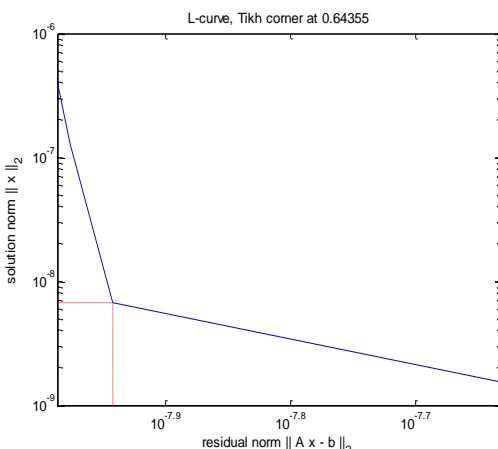
1 Ill-posed

2 Tikhonov

روشهای موجود برای انتخاب بهینه پارامتر پایدارسازی (در اینجا α) در پایدارسازی یک مساله گستته معکوس ناپایدار است که در آن تغییرات نرم جواب پایدارسازی شده نسبت به تغییرات نرم بردار باقیماندها مورد بررسی قرار می‌گیرد [۱۷]. در مسائل گستته معکوس ناپایدار، نمایش لگاریتمی منحنی این تغییرات غالباً به شکل L بوده و نقطه‌ای شکستگی این منحنی جواب پایدارسازی شده با خطای پایدارسازی مناسبی را پیشنهاد می‌کند. شکل (۲) منحنی بدست آمده از این روش را نمایش می‌دهد.



شکل ۱: نمودار تغییرات مقادیر منفرد ماتریس نرمال



شکل ۲: منحنی L برای ماتریس نرمال

در نظر می‌گیریم که در آن \mathbf{d} بردار مشاهدات با بعد n \mathbf{m} بردار مجھولات با بعد u و \mathbf{G} ماتریسی $n \times u$ است. این مساله به دستگاه معادلات نرمال $\mathbf{G}^T \mathbf{G} \mathbf{m} = \mathbf{G}^T \mathbf{d}$ مرتبط است که از حل آن جواب $\mathbf{m} = (\mathbf{G}^T \mathbf{G})^{-1} \mathbf{G}^T \mathbf{d}$ برای دستگاه معادلات ناسازگار $\mathbf{G}\mathbf{m} = \mathbf{d}$ بدست می‌آید. در نظر بگیرید که در حل این مساله کمترین مربعات شرط کمترین مربعات با شرط زیر جایگزین گردد:

$$\min \| \mathbf{G}\mathbf{m} - \mathbf{d} \|_2^2 + \alpha^2 \| \mathbf{m} \|_2^2 \quad (11)$$

برای حل مساله بالا از روش لاگرانژ استفاده می‌کنیم. مقدار \mathbf{m} را چنان تعیین می‌کنیم که نقطه‌ای مینیمم برای تابع اسکالر زیر باشد:

$$\phi(\mathbf{m}) = \min \| \mathbf{G}\mathbf{m} - \mathbf{d} \|_2^2 + \alpha^2 \| \mathbf{m} \|_2^2 \quad (12)$$

و یا

$$\phi(\mathbf{m}) = (\mathbf{G}\mathbf{m} - \mathbf{d})^T (\mathbf{G}\mathbf{m} - \mathbf{d}) + \alpha^2 \mathbf{m}^T \mathbf{m} \quad (13)$$

چون \mathbf{m} نقطه‌ای مینیمم برای تابع اسکالر ϕ است:

$$\frac{d\phi}{d\mathbf{m}} = 0 \quad (14)$$

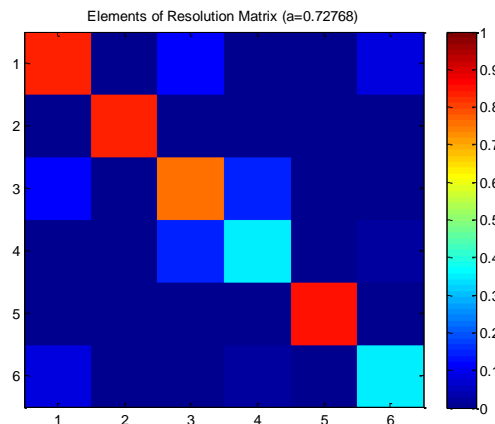
از حل معادله (۱۴) معادله زیر حاصل خواهد شد:

$$\mathbf{m}_\alpha = (\mathbf{G}^T \mathbf{G} + \alpha^2 \mathbf{I})^{-1} \mathbf{G}^T \mathbf{d} \quad (15)$$

در معادله بالا α پارامتر پایدارسازی^۱ بوده و مقداری بزرگتر از صفر می‌باشد. \mathbf{L} یک ماتریس معین مثبت می‌باشد که نوع آن بستگی به مرتبه پایدارسازی دارد. برای روش پایدارسازی مرتبه صفحه تیخونوف، ماتریس \mathbf{L} یک ماتریس همانی است. مقدار پارامتر پایدارسازی در این روش غالباً به کمک روش منحنی ال^۲ تعیین می‌شود [۱۶]. روش منحنی ال یکی از روش‌های موجود در تعیین بهینه مقادیر منفردی است که با آن مقادیر، دستگاه معادلات حاصل از پایداری کافی برخوردار خواهد بود. این روش یکی از ساده‌ترین

1 Regularization parameter

2 L-curve



شکل ۴ : تغییرات عناصر ماتریس رزولوشن برای پارامتر پایدارسازی $\alpha = 0.72768$

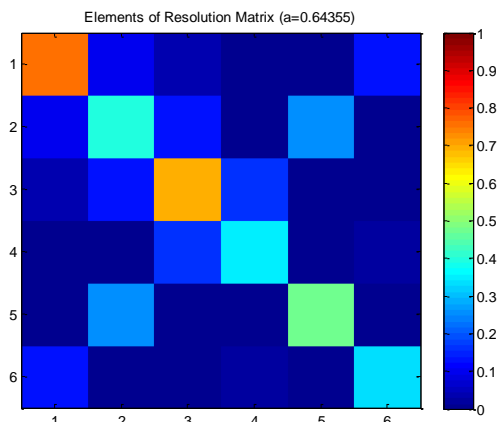
۴- شبکه عصبی مصنوعی

شبکه‌های عصبی مصنوعی روشهای تقریباً جدید برای تقریب توابع و پیش‌بینی حالت آینده سیستمهای مختلف می‌باشند. این شبکه‌ها برای حالتی که بین ورودی و خروجی سیستم روابط غیرخطی برقرار است، به نتایج قابل قبول منتج می‌شوند و از این‌رو در بسیاری از حوزه‌های علمی مورد استفاده قرار می‌گیرند. شبکه‌های عصبی نسبت به روش‌های رایج همانند کمترین مربعات دارای سرعت عمل و دقت بالاتری بوده و حساسیت آنها نسبت به نویزها بسیار پایینتر است [۱۸]. هر شبکه عصبی از تعدادی گره^۲ که همان نرون‌ها^۳ هستند و وزنهای ارتباطی که گره‌ها را به هم وصل می‌کنند، تشکیل شده است. داده‌های ورودی در وزن متناظرشان ضرب می‌شوند و مجموع آنها به نرون‌ها وارد می‌گردند. هر نرون دارای یکتابع فعالسازی^۴ می‌باشد. این مقدار شبکه عصبی متناسب با مسئله مورد نظر و

میزان بایاس موجود در جواب مساله پایدار شده غالباً از طریق ماتریس رزولوشن^۱ بررسی و کنترل می‌گردد. در غیاب بایاس در نتایج، مقادیر روی قطر اصلی ماتریس رزولوشن عدد یک خواهد بود [۱۶]. بنابراین هر چقدر درایه‌های روی قطر اصلی ماتریس رزولوشن به عدد یک نزدیک‌تر باشند، صحت جواب پایدارسازی شده بیشتر است. این ماتریس در روش پایدارسازی تیخونوف بصورت زیر تعریف می‌شود:

$$R = (\mathbf{G}^T \mathbf{G} + \alpha^2 \mathbf{L})^{-1} \mathbf{G} \quad (16)$$

اشکال (۳) و (۴) نشان‌دهنده تغییرات عناصر ماتریس رزولوشن برای دو مقدار متفاوت پارامتر پایدارسازی می‌باشند. با توجه به درایه‌های روی قطر اصلی ماتریس رزولوشن می‌توان به این نکته مهم دست یافت که در شکل (۴) صحت جواب پایدارسازی شده با روش تیخونوف به مراتب بالاتر از شکل (۳) می‌باشد. بنابراین انتخاب پارامتر مناسب پایدارسازی در صحت جواب بدست آمده بسیار موثر خواهد بود.



شکل ۳ : تغییرات عناصر ماتریس رزولوشن برای پارامتر پایدارسازی $\alpha = 0.64355$

تابع سیگموئید^۵ می‌باشد که بصورت تابع ریاضی زیر تعریف می‌گردد [۱۸]:

$$f(z) = \frac{1}{(1 + e^{-z})} \quad (18)$$

که در رابطه (۱۸) z اطلاعات ورودی نرون و $f(z) \in [0,1]$ می‌باشد. معمولاً در شبکه‌های عصبی جهت بدست آوردن اپتیمم ساختار شبکه، داده‌های ورودی به سه دسته مجزا از هم تقسیم می‌شوند: مجموعه آموزش^۶، مجموعه تست^۷ و مجموعه ارزیابی^۸. در هر سه دسته جهت ارزیابی خطا از مفهوم خطای مربعی میانگین^۹ بصورت زیر استفاده می‌شود:

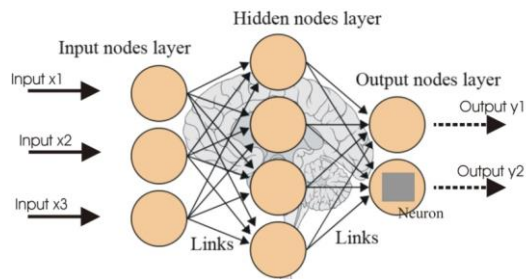
$$MSE = \frac{1}{N} \sum_{i=1}^N (y_i^{Actual} - y_i^{Predict})^2 \quad (19)$$

که در رابطه (۱۹) y_i^{Actual} نشان‌دهنده مقادیر خروجی واقعی و $y_i^{Predict}$ بیانگر خروجی‌های شبکه عصبی می‌باشد. ارزیابی نتایج بدست آمده بصورت مقایسه آن با بردارهای سرعت بدست آمده از پردازش‌های GPS نسبت به صفحه اوراسیا می‌باشد. این ارزیابی بصورت زیر انجام گرفته است:

$$\Delta V_{E,N} = V_{(Known)} - V_{(Estimated)} \quad (20)$$

در رابطه (۲۰) $\Delta V_{E,N}$ مقادیر خطای مربوط به بردارهای سرعت تخمین زده شده، $V_{(known)}$ مقادیر سرعت بدست آمده از مشاهدات GPS و $V_{(estimated)}$ مقادیر سرعت تخمین زده شده از شبکه عصبی مصنوعی می‌باشد. جذر خطای مربعی میانگین^{۱۰} بهترین معیار جهت ارزیابی مقادیر خطای بدست آمده از مدل‌سازی شبکه عصبی مصنوعی می‌باشد. این معیار بصورت زیر تعریف شده است:

با روش سعی و خطا به دست می‌آید. شکل (۷) ساختار یک شبکه عصبی با لایه‌های ورودی، پنهان و خروجی را نشان می‌دهد.



شکل ۵: شبکه عصبی ۳ لایه با اتصالات کامل

در این مقاله جهت مدل‌سازی میدان سرعت از یک شبکه عصبی پرسپترون چند لایه^۱ استفاده می‌شود. حسن این کار در تسريع عملیات برآورد پارامترها و نوع یادگیری و آموزش شبکه می‌باشد. شبکه عصبی پرسپترون چند لایه مورد استفاده دارای یک لایه ورودی^۲ با N مشاهده ورودی، چندین لایه پنهان^۳ و یک لایه خروجی^۴ با n پارامتر می‌باشد. مدل مورد استفاده جهت محاسبه پارامترهای لایه خروجی بصورت رابطه زیر می‌باشد:

$$y = f\left(\sum_{j=1}^q W_j f\left(\sum_{l=1}^N w_{j,l} x_l + w_{j,0}\right) + W_0\right) \quad (17)$$

$w_{j,l}$ وزن مابین زمین عصب لایه پنهان و خروجی، $w_{j,0}$ وزن مابین ۱امین عصب ورودی و ۱امین عصب پنهان، W_0 ۱امین پارامتر ورودی، $w_{j,l}$ بایاس مربوط به عصبهای مابین لایه‌های ورودی و پنهان و W_0 بایاس مربوط به عصبهای لایه‌های پنهان و خروجی. جهت ارتباط میان لایه‌های پنهان و خروجی به یک تابع فعال‌سازی مناسب نیاز می‌باشد. یکی از مناسب ترین توابع فعال‌سازی

5 Sigmoid Function

6 Training Set

7 Testing Set

8 Validation Set

9 Mean Square Error (MSE)

10 Root Mean Square Error (RMSE)

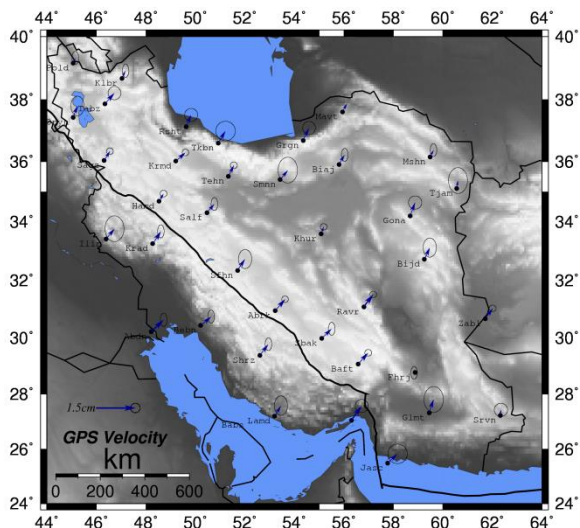
1 Multi-layer perceptron

2 Input layer

3 Hidden layer

4 Output layer

ایستگاههای مورد استفاده در این تحقیق به سه گروه تقسیم‌بندی شده است: ۳۰ ایستگاه جهت آموزش شبکه بروش پس انتشار خطا، ۳ ایستگاه جهت ارزیابی خطای شبکه و ۴ ایستگاه جهت تست نتایج بدست آمده از شبکه عصبی مصنوعی مدلسازی شده استفاده شده است. مختصات جغرافیایی هر ایستگاه در شبکه مورد نظر به عنوان ورودی شبکه عصبی مصنوعی در نظر گرفته شده و بردارهای سرعت بدست آمده از پردازش‌های مشاهدات GPS به عنوان پارامتر خروجی جهت آموزش شبکه معرفی شده‌اند. در این مقاله از دو شبکه عصبی مصنوعی مجزا جهت تخمین بردارهای سرعت نقاط ژئودتیکی استفاده شده است. تعداد نورونهای لایه مخفی در هر دو شبکه بر اساس معیار جذر خطای مربعی میانگین تعیین شده است. شکل (۷) بردارهای سرعت بدست آمده از پردازش‌های GPS را نشان می‌دهد. همچنین شکل (۸) بیانگر میدان سرعت برآورده شده در سایر نقاط ژئودتیکی در فلات ایران می‌باشد.



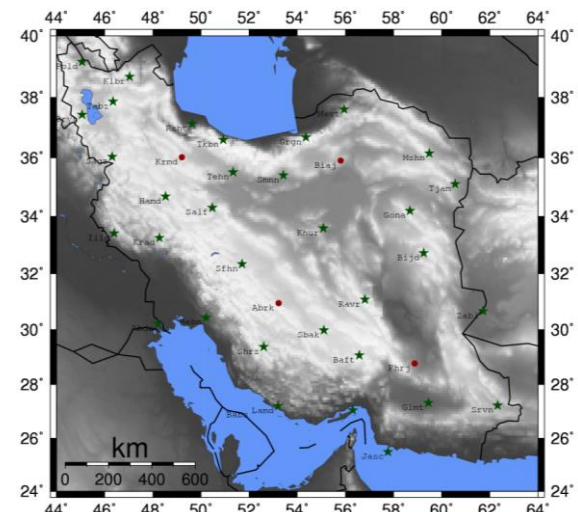
شکل ۷: بردارهای سرعت بدست آمده از داده‌های GPS نسبت به صفحه اوراسیا

$$RMSE = \sqrt{\frac{1}{n} \sum_{i=1}^n (\Delta V_{i,E,N})^2} \quad (21)$$

۵- پردازش مشاهدات شبکه ژئودینامیک

مطالعات ژئودینامیک در ایران از سال ۱۳۷۷ به منظور پایش تغییرات پوسته زمین و حرکات تکتونیکی مربوط به آن آغاز شده است. در این راستا شبکه دائمی ژئودینامیک سراسری در سال ۱۳۸۳ به منظور بررسی سازوکارهای حرکات گسل‌های ایران طراحی و تدریجاً اجرا شد. در حال حاضر این شبکه دارای ۱۲۰ ایستگاه دائمی GPS می‌باشد. از این تعداد، ۳۷ ایستگاه با توزیع تقریباً یکنواخت در سراسر منطقه ایران و به فاصله تقریبی ۳۰۰ کیلومتر از هم به عنوان شبکه اصلی انتخاب شده است. در این مقاله هدف تخمین سرعت نقاط ژئودتیکی و میدان استرین در محدوده ژئودینامیکی کشور ایران می‌باشد. این محدوده در عرض جغرافیایی $N \leq \varphi \leq 40^\circ N$ و $24^\circ E \leq \varphi \leq 64^\circ E$ قرار گرفته است.

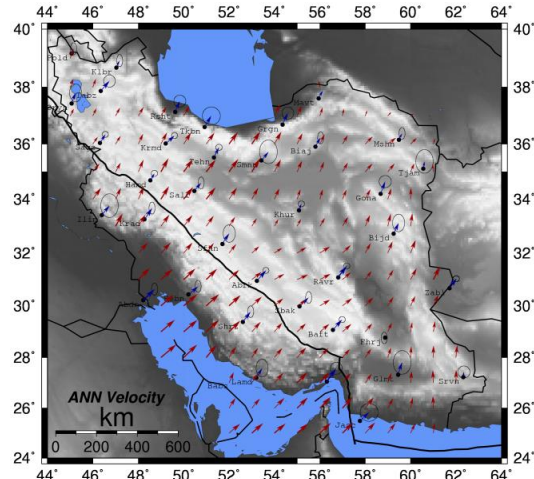
شکل (۶) چگونگی توزیع مکانی ۳۷ ایستگاه از شبکه ژئودینامیک را نشان می‌دهد.



شکل ۶: چگونگی توزیع مکانی ایستگاههای مورد استفاده در این تحقیق (ستاره‌ها نشان دهنده ایستگاههای آموزش و دایره‌ها بیانگر ایستگاههای تست می‌باشند)

جدول (۱) مقادیر میدان سرعت بدست آمده از پردازش‌های GPS، مقادیر سرعت تخمین زده شده توسط شبکه عصبی مصنوعی و نیز مقادیر خطای نسبی را در ۴ ایستگاه تست نشان می‌دهد.

به کمک روش آنالیز استرین ایزوپارامتریک ۳ بعدی و نیز مختصات‌های بدست آمده از ایستگاه‌های شبکه ژئودینامیک کشور ایران در دو اپوک زمانی، مقادیر استرین برای تمامی ایستگاه‌های شبکه فوق محاسبه و نتایج در دو شکل (۹) و (۱۰) نمایش داده شده است.



شکل ۸ : بردارهای سرعت تخمین زده شده با استفاده از شبکه عصبی سه لایه با تابع فعالسازی سیگمویدی نسبت به صفحه اوراسیا

جدول ۱ : مقادیر میدانهای سرعت بدست آمده از پردازش و میدان سرعت تخمین زده بهمراه خطاهای نسبی در ایستگاه‌های تست انتخاب شده در شبکه مورد نظر

ایستگاه	میدان سرعت بدست آمده از GPS (mm/yr)		میدان سرعت تخمین زده شده (mm/yr)		خطای نسبی (%)	
	V_E	V_N	V_E	V_N		
Krmrd	-0.029	0.00904	-0.027	0.002	+7.41	15.2
Biaj	-0.037	0.00534	-0.032	0.005	+15.6	6.80
Abrk	-0.030	-0.00302	-0.032	-0.006	-6.25	-29.7
Fhrj	-0.050	0.01308	-0.055	0.016	-9.09	-18.3

جدول ۲ : مقادیر پارامترهای استرین بدست آمده از پردازش و پارامترهای استرین تخمین زده شده بهمراه خطاهای نسبی در ایستگاه‌های تست انتخاب شده در شبکه مورد نظر

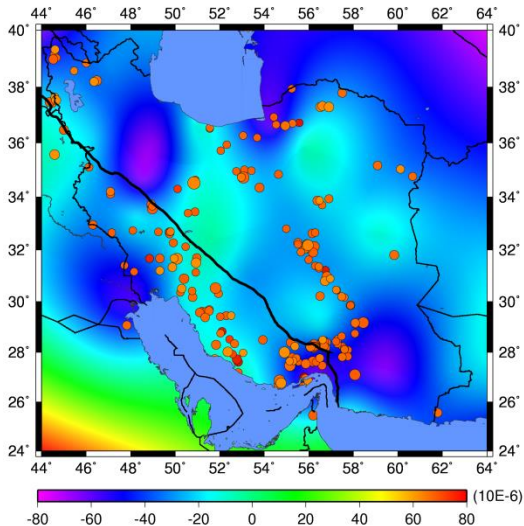
ایستگاه	مولفه های استرین بدست آمده از GPS (μ -strain/year)			مولفه های استرین تخمین زده شده (μ -strain/year)			خطای نسبی (%)		
	e_{xx}	e_{yy}	e_{zz}	e_{xx}	e_{yy}	e_{zz}			
Krmrd	-0.070492	-0.075359	-0.009875	-0.008864	-0.079651	-0.008164	10.24	-5.70	-12.58
Biaj	-0.071725	-0.003153	-0.000481	-0.000514	-0.002867	-0.000564	-6.86	9.07	14.00
Abrk	-0.074273	-0.060849	0.021290	0.02465	-0.055973	0.028650	-15.78	8.01	-3.12
Fhrj	-0.017299	-0.041994	0.018192	0.019921	-0.048618	0.020921	-9.50	-15.77	-23.46

شکل (۱۰) مقادیر تخمین زده شده پارامترهای استرین را در سایر نقاط ژئودینامیکی در آزمیوت‌های دلخواه نشان می‌دهد.

جدول (۲) مقادیر مولفه های اصلی استرین بدست آمده از پردازش‌های GPS، مولفه های اصلی

در هر دو شکل مقادیر ویژه تنسور استرین با زوج بردارهایی که به سمت هم (вшارش) و در جهت مخالف هم (انبساط) را نمایش می‌دهند، آورده شده است. شکل (۹) مقادیر اصلی استرین بدست آمده از روش ایزوپارامتریک ۳ بعدی را در محل ایستگاه‌های شبکه ژئودینامیک را نشان داده و

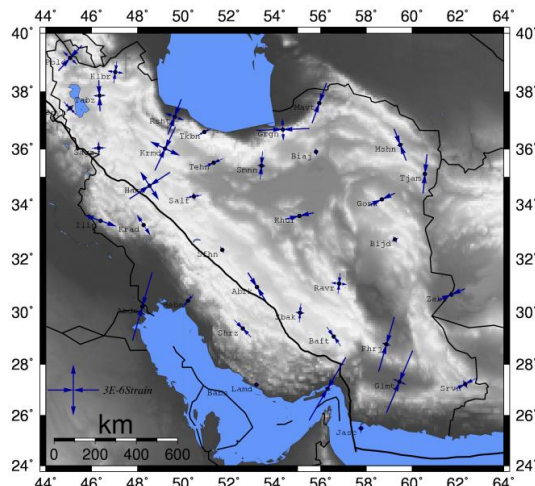
بيان می کند. اين کميت بدون واحد است و در حالت انبساط حجم، مثبت و برای انقباض منفی می باشد. ماکزيمم برش خاصیت غیر ايزوتروپیک تغییر شکل را نشان داده و تفسیر هندسی آن ماکریمم مقدار تغییر در امتداد می باشد. اين کميت به عنوان يك کميت کلیدی يا عامل کلیدی در مطالعات پیش بینی زلزله شناخته شده است. میزان ماکزيمم برش و اتساع برای فلات ایران در اشكال (۱۱) و (۱۲) نمايش داده شده است.



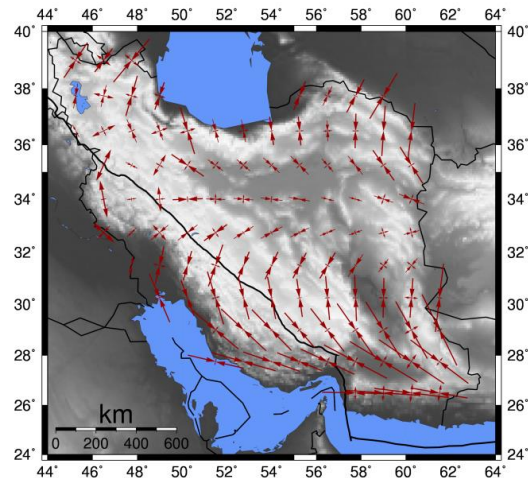
شکل ۱۱: میزان ماکزيمم برش برآورد شده در منطقه ایران با استفاده از روش شبکه عصبی مصنوعی ۳ لایه به همراه چگونگی زلزله های بوقوع پیوسته در منطقه ایران در بازه زمانی مشاهدات

در شکل (۱۱) زلزله های بوقوع پیوسته در بازه زمانی یک ساله مشاهدات استفاده شده در این تحقیق به همراه چگونگی تغییرات کميت برش آورده شده است. با توجه به این شکل می توان دریافت که در موقعیتهایی که کميت برش دارای مقادیر عددی زیادی است زلزله های فراوانی بوقوع پیوسته است.

استرین تخمين زده شده توسط شبکه عصبی مصنوعی و نيز مقادير خطاي نسبى را در ۴ ايستگاه تست نشان مي دهد.



شکل ۹: مقادير اصلی استرین بدست آمده از روش ايزوپارامetric ۳ بعدی در محل ايستگاههای شبکه



شکل ۱۰: مقادير استرین تخمين زده با استفاده از روش شبکه عصبی مصنوعی ۳ لایه در نقاط ژئودتیکی مختلف

همچنین با استفاده از شبکه عصبی مصنوعی می توان مقادير اتساع^۱ و ماکزيمم برش^۲ را برای منطقه ایران تخمين زد. اتساع تغيير حجم جسم در واحد حجم را

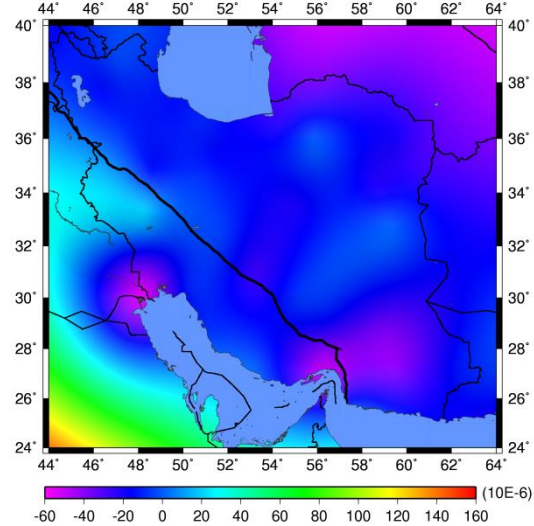
1 Dilatation

2 Maximum Shear

در این مقاله از روش ایزوپارامتریک سه بعدی جهت تفسیر تغییر شکل سطحی پوسته زمین استفاده شد. بدلیل ماهیت خاص این مساله، استفاده از روش‌های پایدارسازی جهت برآوردهای پارامترها امری اجتناب ناپذیر می‌باشد. بهمین منظور در این مقاله از روش تیخونوف مرتبه صفرم جهت پایدارسازی مساله استفاده شد. مقدار پارامتر پایدارسازی بگونه‌ای انتخاب گردید که کمترین خطای نسبی در مقادیر پارامترها برآورد شده بوجود آید.

یکی از مهمترین معایب و مشکلات استفاده از مشاهدات شبکه‌های ژئودزی ماهواره‌ای در برآورد و تعیین مقادیر میدان سرعت و استرین، در توزیع گاه‌ها نامناسب و تعداد کم ایستگاهها می‌باشد. این موضوع مخصوصاً در اطراف گسلهای فعال بیشتر نمود پیدا می‌کند. جهت رفع این مشکل، استفاده از روش‌های مناسب و دقیق انترپولاسیون که بتواند مقادیر میدان سرعت و مولفه‌های استرین را در نقاط فاقد ایستگاه‌های شبکه ژئودزی ماهواره‌ای بدروستی برآورد نماید امری ضروری و اجتناب ناپذیر می‌باشد. بدین جهت در این مقاله کارائی و دقت برآورد میدان سرعت و مولفه‌های استرین، توسط روش شبکه‌های عصبی مصنوعی چند لایه مورد بررسی و ارزیابی قرار گرفت. جهت آموزش و تعیین وزنهای شبکه عصبی، از میدان سرعت و استرین بدست آمده از پردازش‌های GPS و روش ایزوپارامتریک ۳ بعدی ۳۷ ایستگاه از شبکه ژئودینامیک کشور ایران استفاده شد. از ۳۷ ایستگاه مورد استفاده، ۴ ایستگاه با توزیع مناسب در منطقه ایران، جهت تست نتایج بکار گرفته شد. میدان‌های سرعت و استرین این ۴ ایستگاه در محاسبات مربوط به آموزش و تعیین وزنهای استفاده نشده است.

در مدل شبکه‌های عصبی جهت برآورد میدان سرعت و استرین نقاط ژئودتیکی از یک ساختار ۳ لایه با ۲۲ نرون در لایه مخفی استفاده شد. تعداد نرون‌های



شکل ۱۲: میزان اتساع برآورده در منطقه ایران با استفاده از روش شبکه عصبی مصنوعی ۳ لایه

۶- نتایج و پیشنهادها

یکی از اهداف علم ژئودزی محاسبه و تعیین میدان سرعت و نیز پارامترهای تنسور استرین پوسته زمین، مخصوصاً در اطراف گسلهای فعال می‌باشد. با دانستن مقدار و جهت میدان سرعت و استرین می‌توان ارزیابی اولیه‌ای از چگونگی فعالیت گسلها بدست آورد. استفاده از داده‌های شبکه‌های ژئودزی ماهواره‌ای یک راه حل کلی در تعیین میدان سرعت و مولفه‌های استرین نقاط ژئودتیکی می‌باشد. روش‌های متفاوت و گوناگونی جهت نیل به این هدف بوجود آمده است. این روش‌ها را در یک دسته‌بندی کلی می‌توان بروش‌های دوبعدی و سهبعدی آنالیز تغییر شکل پوسته زمین می‌توان دسته‌بندی نمود. در روش‌های دو بعدی معمولاً از تغییرات در راستای ارتفاعی صرف نظر شده و این تغییرات و اثرات آن نادیده گرفته می‌شوند. در حالیه تغییر شکل پوسته زمین ماهیتیًّا یک مساله سه بعدی است. بنابراین در نظر نگرفتن بعد ارتفاعی یک تصور کاملاً غیر واقعی از مساله تغییر شکل را ارائه خواهد داد.

مولفه شرقی میدان سرعت بدست آمد. همچنین میانگین خطای نسبی تولید شده در نقاط تست +۹/۶۳، e_{xx} برای مولفه e_{yy} و +۱۰/۵۸ برای مولفه e_{zz} تعیین شد.

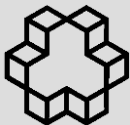
لایه مخفی براساس سعی و خطأ و براساس مینیمم خطای نسبی تولید شده در نقاط تست تعیین گردید. با این ساختار، میانگین خطای نسبی تولید شده در نقاط تست +۹/۵۸ برای مولفه شمالی و +۱۷/۵۰ برای

مراجع

- [1] Mashhadi Hossainali, M., (2006): A Comprehensive Approach to the Analysis of the 3D Kinematics of Deformation. Institute of Physical Geodesy. Ph.D. Thesis. Darmstadt, Darmstadt University of Technology, 152 pp.
- [2] Jackson, J., and D. McKenzie (1988): The relationship between plate motions and seismic moment tensors, and the rates of active deformation in Mediterranean and Middle East: *Geophys. J.*, 93: 45-73.
- [3] Kostrov, V. V. (1974): Seismic moment and energy of earthquakes, and seismic flow of rock, *Izv.: Earth Physics*, 1: 23-40.
- [4] Terada, T., and N. Miyabe (1929): Deformation of the Earth Crust in Kwansai District and its Relation to the Orographic Features: *Bull. Earthquake Res. Ins. U. of Tokyo*, 7, Part 2., p. 223-241.
- [5] Chen, R. (1991): On the horizontal crustal deformations in Finland, Helsinki, Finish Geodetic Institute.
- [6] Altiner, Y. (1999): Analytical Surface Deformation Theory for Detection of the Earth's Crust Movements, Springer.
- [7] Graftarend, E. W. (1986): Three-dimensional deformation analysis: Global vector spherical harmonic and local element representation: *Tectonophysics*, 130: 337-359.
- [8] Nilforoushan F., Masson F., Vernant P., Vigny C., Martinod J., Abbassi M., Nankali H., Hatzfeld D., Bayer R., Tavakoli F., Ashtiani A., Doerflinger E., Daignières M., Collard P. and Chéry J. (2003): "GPS network monitors the Arabia-Eurasia collision deformation in Iran." *Journal of geodesy*
- [9] Berberian, M. (1981): "Active fault and tectonic of Iran." *Journal of geodynamic*.
- [10] Masson F., Chéry J., Hatzfeld D., Martinod J., Vernant P., Tavakoli F., Ghafory-Ashtiani M (2007): " Large-scale velocity field and strain tensor in Iran inferred from GPS measurements: new insight for the present-day deformation pattern within NE Iran." *Journal of Geophysics*: 170:436-440.
- [11] Vernant Ph., Nilforoushan F., Chery J., Bayera R., Djamour Y., Massona F., Nankali H., Ritza J.F., Sedighi M., Tavakoli F. (2004): "Deciphering oblique shortening of central Alborz in Iran using geodetic data." *Earth and Planetary Science Letters* 223: 177-185.
- [12] Yilmaz M (2013): Artificial Neural Networks Pruning Approach for Geodetic Velocity Filed Determination, *BCG-Boletim de Ciências Geodésicas*
- [13] Voosoghi B (2000): "Intrinsic deformation analysis of the earth surface based on 3-D displacement fields derived from space geodetic measurements". PhD Thesis, Department of Geodesy and Geoinformatics, Stuttgart University
- [14] Stanley, J., (1990): Introduction to Neural Networks, 3rd edition. Sierra Madre, California Scientific Software.
- [15] Love, A. E. H. (1944): A treatise on the mathematical theory of elasticity, Dover publications.
- [16] Aster, R. C., B. Borchers, and C. H. Thurber (2005): Parameter Estimation and Inverse Problems, Elsevier Academic Press.
- [17] Miler K (1970): Least-squares method for ill-posed problems with a prescribed bound. *SIAM, J. Math. Anal.*, 1, 52-74.
- [18] Haykin. S, (1994): "Neural Networks, a

comprehensive Foundation", Macmillan College Publishing Company, New York.

- [19] Norgaard M (1997): "Neural Network Based System Identification Toolbox"; Technical Report 97-E-51, Department of Automation, Technical University of Denmark, Copenhagen, Denmark, 37p.



3-D Crustal Deformation Analysis Using Isoparametric method and Multi-Layer Artificial Neural Networks (Case Study: Iran)

Mir Reza Ghaffari Razin¹, Ali Mohammadzadeh^{*2}

1-PhD student, Faculty of Geodesy and Geomatics Eng., K. N. Toosi Univ. of Tech., Tehran, Iran

2-Assitant Professor, Faculty of Geodesy and Geomatics Eng., K. N. Toosi Univ. of Tech., Tehran, Iran

Abstract

One of the most important applications of geodesy in geodynamics is study of crustal deformations. In this paper, surface deformation analysis is investigated using 3-D model. 3-D isoparametric method and Iranian permanent GPS network (IPGN) were used to estimate strain tensor. In this method, strain parameters obtained from compares the relative distance between base point and its neighboring points. Since the strain tensor is calculated for each GPS station, considers the strain inhomogeouns and its compatibility with the reality. Due to the special characteristics of isoparametric method, using regularization techniques to solve this problem is inevitable. Tikhonov regularization is used for solving corresponding problem. Optimum value of regularization parameter is selected using minimum relative error in strain parameters, as well as, diagonal elements of resolution matrix is used for error analysis. For estimated velocity field and strain parameters in other geodetic points, in this research artificial neural network (ANN) with 3 layers is used. 4 GPS stations with convenient distribution were used for validating and testing. Minimum relative error obtained from this evaluation for velocity field in eastern component (V_E) is 6.25% and northern component (V_N) is 6.80%. Also root mean square error (RMSE) is computed ± 1.85 (mm) and ± 1.72 (mm) in V_N and V_E respectively. These results are agreement with focal mechanism of earthquakes in this region as well as Iran's geodynamic mechanisms.

Key words: Isoparametric, Artificial neural network, Strain tensor, Crustal velocity, GPS.

Correspondence Address Remote Sensing Group, Geodesy and Geomatics Engineering Faculty, K.N.Toosi University of Technology, Vali_Asr Street, Tehran, IRAN. Tel: +98 9124752961.
Email: : a_mohammadzadeh@kntu.ac.ir